

INF2310 – 29. mai 2012

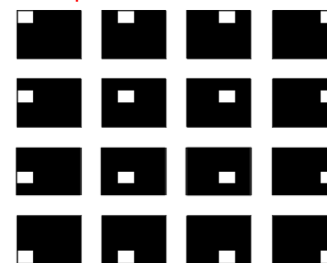
FORELESNING 16: REPETISJON

Denne delen:

- 2D diskret Fourier-transform (DFT)
- Kompresjon og koding
- Morfologiske operasjoner på binære bilder

Standardbasis for matriser

Eksempel: Standardbasis for 4x4



- Et gråtonebilde representeres vanligvis som et rutenett av gråtoneintensiteter
- Dette tilsvarer å bruke den såkalte *standardbasisen* for matriser
- Eksempel: 4x4-gråtonebilder
 - Standardbasisen er de 16 matrisene vist til venstre, der sort er 0 og hvit er 1
 - En vektet sum av disse matrisene kan unikt representere enhver 4x4-matrise/gråtonebilde

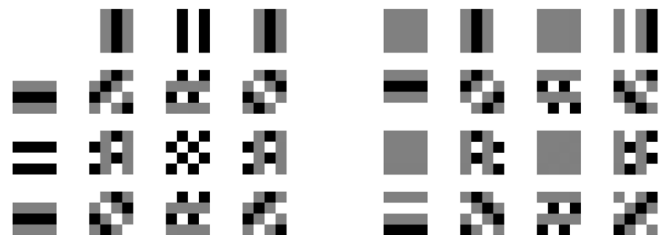
Undereksempel:

1	3	2	1
5	4	5	3
4	1	1	2
2	3	2	6

$$= 1 * \begin{matrix} \blacksquare & & & \\ & \blacksquare & & \\ & & \blacksquare & \\ & & & \blacksquare \end{matrix} + 3 * \begin{matrix} \blacksquare & & & \\ & \blacksquare & & \\ & & \blacksquare & \\ & & & \blacksquare \end{matrix} + \dots + 6 * \begin{matrix} & & & \blacksquare \\ & & & \\ & & & \\ & & & \blacksquare \end{matrix}$$

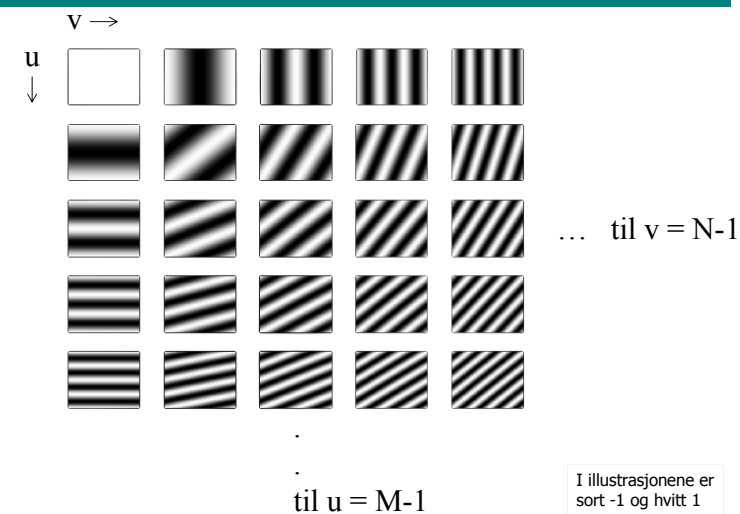
Alternativ basis

- Det finnes mange andre basiser for matriser
 - Muligheten til å unikt representere enhver matrise ligger i *basis*
- 2D DFT bruker én slik basis som er basert på sinuser og cosinuser med forskjellige frekvenser
 - Disse sinusene og cosinusene er faste for en gitt bildestørrelsen (MxN) og kan representeres som hver sin mengde av bilder:



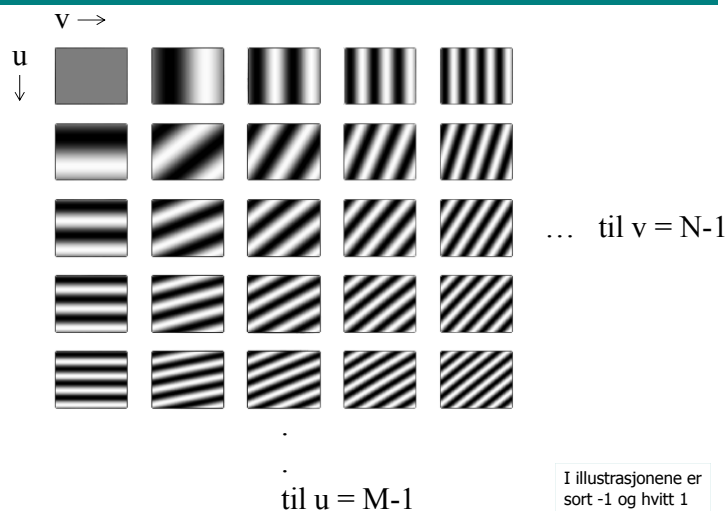
(i bildene er sort -1, grått er 0 og hvitt er 1)

Cosinus-bilder for større bilder



I illustrasjonene er sort -1 og hvitt 1

Sinus-bilder for større bilder



Beregning av 2D DFT for en gitt frekvens

- Frekvens (3,3) av 2D DFT-en av vårt tidligere eksempelbilde:

$$\bullet \text{ real}(F(3,3)) = \text{sum} \left(\begin{bmatrix} 1 & 3 & 2 & 1 \\ 5 & 4 & 5 & 3 \\ 4 & 1 & 1 & 2 \\ 2 & 3 & 2 & 6 \end{bmatrix} \times \begin{bmatrix} 1 & 0 & -1 & 0 \\ 0 & -1 & 0 & 1 \\ -1 & 0 & 1 & 0 \\ 0 & 1 & 0 & -1 \end{bmatrix} \right) = -8$$

$$\bullet \text{ imag}(F(3,3)) = \text{sum} \left(\begin{bmatrix} 1 & 3 & 2 & 1 \\ 5 & 4 & 5 & 3 \\ 4 & 1 & 1 & 2 \\ 2 & 3 & 2 & 6 \end{bmatrix} \times \begin{bmatrix} 0 & 1 & 0 & -1 \\ 1 & 0 & -1 & 0 \\ 0 & -1 & 0 & 1 \\ -1 & 0 & 1 & 0 \end{bmatrix} \right) = 3$$

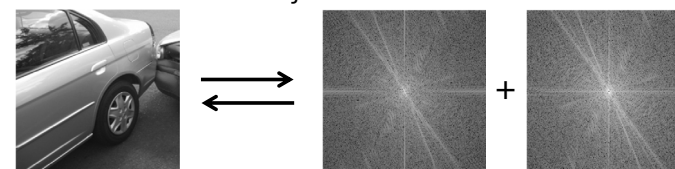
- Altså er $F(3,3) = -8+3i$

Grunnleggende om 2D DFT

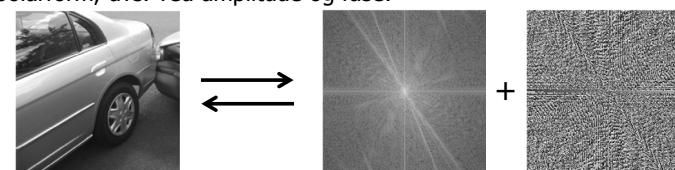
- $\text{real}(F(u,v)) = \text{sum} \left(\begin{array}{c} \text{bildet} \\ \text{punkt-} \\ \text{multi-} \\ \text{plisert} \end{array} \times \begin{array}{c} \text{cosinus-bildet} \\ \text{av frekvens} \\ (u,v) \end{array} \right)$
 realdelen til 2D DFT-en av frekvensen (u,v)
- Tilsvarende for imaginærdelen og sinus-bildet
 - $F(u,v)$ er (generelt) et komplekst tall
 - $F(u,v)$ er en vektet sum av *alle* gråtoneintensitetene i bildet
 - Hvert punkt av 2D DFT-en beskriver noe ved *hele* bildet og *ikke et bildepunkt*

2D DFT på polarform I

- Den visuelt intuitive informasjonen i 2D DFT er de store verdiene:

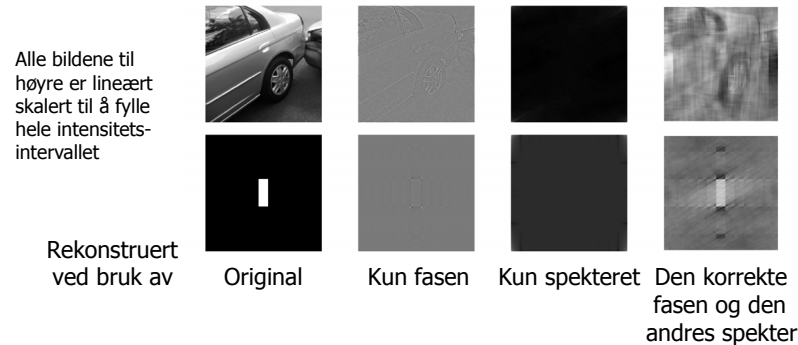


- Denne kan konsentreres ved å representere de komplekse tallene på polarform, dvs. ved amplitude og fase:



2D DFT på polarform II

- Magnituden av en 2D DFT kalles *Fourier-spekteret*
 - Beskriver hvilke frekvenser gråtonebildet inneholder
 - Sterkt knyttet til intuisjonen i Fourier-analyse
- For å rekonstruere det opprinnelige bildet er derimot fasen viktigere:

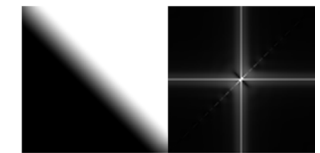


29. mai 2012

9 / 48

Fourier-spektre og bildekanter

- Skarp bildekant:
 - Vektet sum av mange sin/cos med forskjellige frekvenser
 - Mange positive koeffisienter i Fourier-spekteret
 - Bredt bånd i Fourier-spekteret
- «Blurret» (alt. flytende) bildekant:
 - Vektet sum av færre sin/cos
 - Færre positive koeffisienter i Fourier-spekteret
 - Smalere bånd i Fourier-spekteret



29. mai 2012

INF2310

10 / 48

Konvolusjonsteoremet

- Konvolusjonsteoremet består av to deler:

1) Når \Leftrightarrow betegner at høyresiden er 2D DFT-en til venstresiden, er:

$$f(x, y) \star h(x, y) \Leftrightarrow F(u, v) \cdot H(u, v)$$

Sirkelkonvolusjon i bildedomenet \Leftrightarrow Punktvis multiplikasjon i frekvensdomenet

2) Det motsatte gjelder også:

$$f(x, y) \cdot h(x, y) \Leftrightarrow F(u, v) \star H(u, v)$$

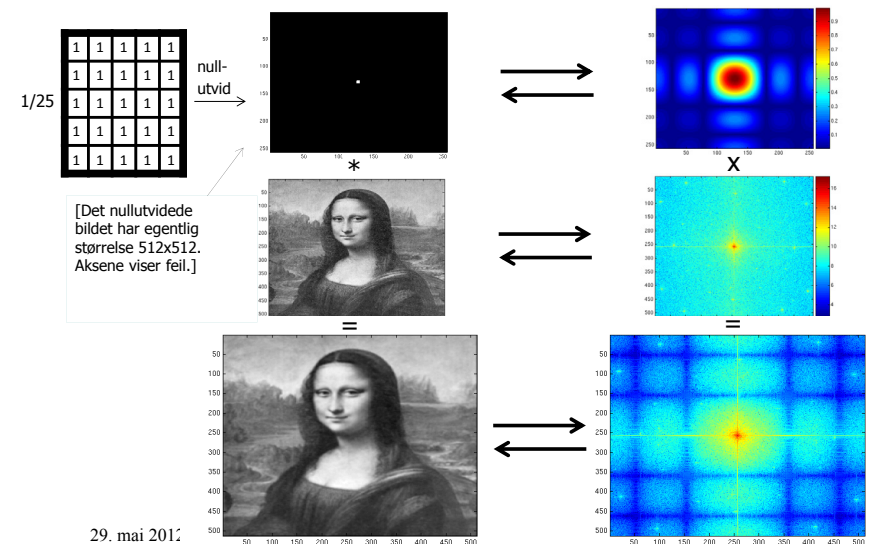
Punktvis multiplikasjon i bildedomenet \Leftrightarrow Sirkelkonvolusjon i frekvensdomenet

- Bildene f og h antatt å ha samme størrelse
 - Nullutvid det minste bildet slik at de får samme størrelse

29. mai 2012

11 / 48

Eksempel: Middelverdifilteret



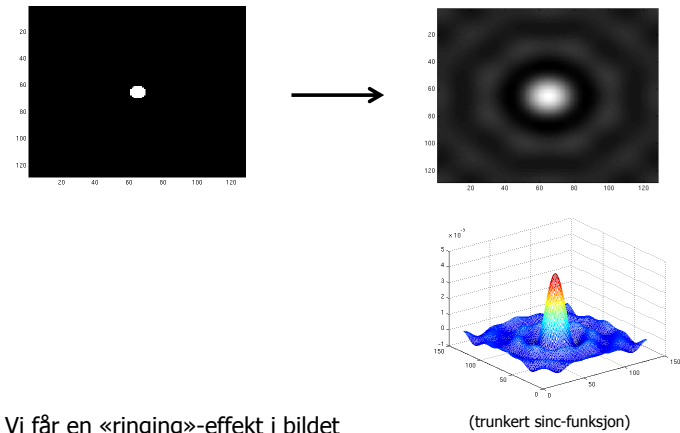
Anvendelse av konvolusjonsteoremet

- Design av lineære filtre med bestemte frekvensegenskaper
 - Designe filteret i frekvensdomenet slik at det får de ønskelige frekvensegenskapene
- Analyse av konvolusjonsfiltre
 - 2D DFT-en til et konvolusjonsfilter gir oss innblikk i hvordan filteret vil påvirke de forskjellige frekvenskomponentene
- Rask implementasjon av større konvolusjonsfiltre

29. mai 2012

13 / 48

Filterdesign i frekvensdomenet Ideelt lavpassfilter og «ringing»



- Vi får en «ringing»-effekt i bildet
 - Husk også tommelfingerregelen:
Smal/bred struktur i bildet \leftrightarrow Bred/smål struktur i Fourier-spekteret

29. mai 2012

14 / 48

Eksempel: Ideelt lavpassfilter



Original

$D_0=0.2$

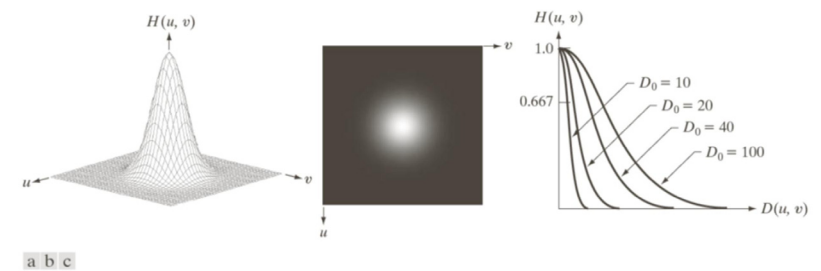
$D_0=0.3$

Se på bildene i god nok oppløsning (du skal se stripe/ringing-effekter i de to til høyre)

29. mai 2012

15 / 48

Gaussisk lavpassfilter



a b c

FIGURE 4.47 (a) Perspective plot of a GLPF transfer function. (b) Filter displayed as an image. (c) Filter radial cross sections for various values of D_0 .

- 2D IDFT-en av et Gaussisk lavpassfilter er også Gaussisk
 - Ingen ringing i billedomenet!

29. mai 2012

16 / 48

Butterworth lavpassfilter

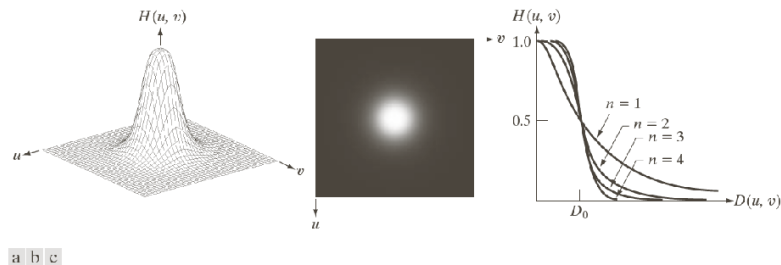
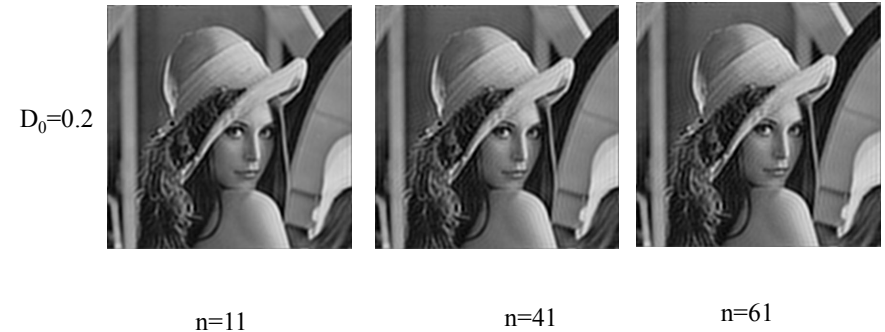


FIGURE 4.44 (a) Perspective plot of a Butterworth lowpass-filter transfer function. (b) Filter displayed as an image. (c) Filter radial cross sections of orders 1 through 4.

Eksempel: Butterworth lavpassfilter

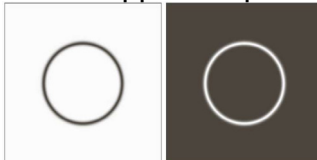


Andre typer filtre

- Høypassfilter: $H_{HP}(u, v) = 1 - H_{LP}(u, v)$

- Båndpass-/båndstoppfilter

Båndstopp Båndpass

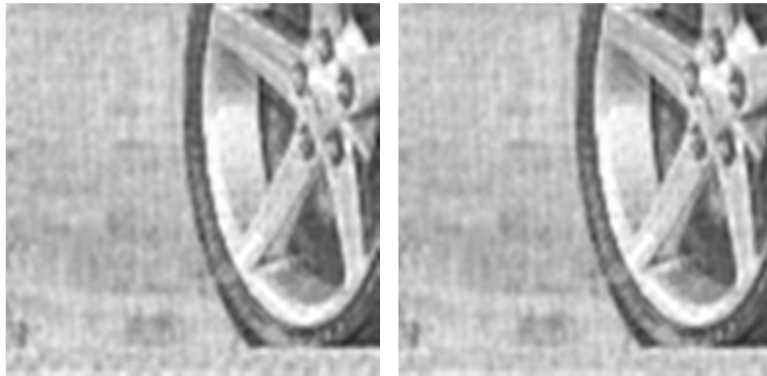


- Notch-filtre slipper igjennom eller stopper mindre predefinerte området i Fourier-spekteret
- Alle kan bruke de samme overgangene:
 - Ideelt, Butterworth, Gaussisk eller annen vindusfunksjon

Wraparound-feil

- Periodisitetsegenskapen til 2D DFT gjør at **sirkulær indeksering** er implisitt antatt når vi filtrerer i frekvensdomenet
- For å behandle randproblemet annerledes må bildet utvides på ønskelig måte *før* 2D DFT-en av det beregnes
 - Filteret må da nullutvides til det utvidede bildet
- Dersom bildet har størrelse $M \times N$ og filteret $m \times n$, må det utvidede bildet minst ha størrelse $(M+m-1) \times (N+n-1)$

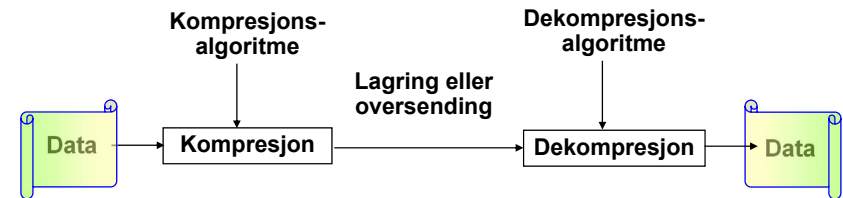
Eksempel: Wraparound-feil



29. mai 2012

21 / 48

Kompresjon



- **Bildekompresjon** består i å pakke informasjonsinnholdet i bildet ved å ikke lagre redundant informasjon.
- Dataene **komprimeres**, deretter lagres eller overføres de.
- Når de senere skal leses, må vi **dekomprimere** dem.
- Koding er en del av kompresjon, men vi koder for å lagre effektivt, ikke for å hemmeligholde eller skjule informasjon.

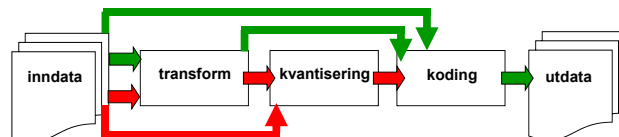
29. mai 2012

INF 2310

22 / 48

Kompresjon

- Kompresjon kan deles inn i tre steg:
 - **Transform** - representer dataene mer kompakt.
 - **Kvantisering** - avrunding av representasjonen.
 - **Koding** - produksjon og bruk av kodebok.



- Kompresjon kan gjøres
 - **Eksakt / tapsfri** ("loss-less") – følg de grønne pilene
 - Her kan vi rekonstruere den originale meldingen eksakt.
 - **Ikke-tapsfri** ("lossy") – følg de røde pilene
 - Her kan vi ikke rekonstruere meldingen eksakt.
 - Resultatet kan likevel være "godt nok".
- Det finnes en mengde ulike metoder for begge kategorier kompresjon.

29. mai 2012

INF 2310

23 / 48

Melding, data og informasjon

- Vi skiller mellom data og informasjon:
- **Melding**: teksten, bildet eller signalet som vi skal lagre.
- **Data**: strømmen av biter som lagres på fil eller sendes.
- **Informasjon**: et mål som kvantifiserer mengden overraskelse/uventethet i en melding.
 - Et varierende signal har mer informasjon enn et monotont signal.
 - I et bilde: kanter rundt objekter har høyest informasjonsinnhold,
 - spesielt kanter med mye krumning.

29. mai 2012

INF 2310

24 / 48

Ulike typer redundans

- **Psykovisuell** redundans
 - Det finnes informasjon vi ikke kan se.
 - Kan kanskje subsample eller redusere antall bit per piksel.
- **Interbilde** redundans
 - Det er en viss likhet mellom nabobilder i en tidssekvens
 - Vi kan kode noen bilder i sekvensen og ellers bare differanser.
- **Intersampel** redundans
 - Nabopikslar ligner på hverandre eller er like.
 - Hver linje i bildet kan "run-length"-transformeres.
- **Kodings-redundans**
 - Gjennomsnittlig kodelengde minus et teoretisk minimum.
 - Velg en metode som er "grei" å bruke og gir liten kodingsredundans

Kompresjonsrate og redundans

- **Kompresjonsraten :**

$$CR = \frac{i}{c}$$

der i er antall bit pr. sampel originalt,
og c er antall bit pr. sampel i det komprimerte bildet.

- **Relativ redundans :**

$$R = 1 - \frac{1}{CR} = 1 - \frac{c}{i}$$

- **"percentage removed" :**

$$PR = 100 \left(1 - \frac{c}{i} \right) \%$$

Differansetransform

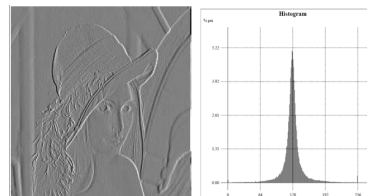
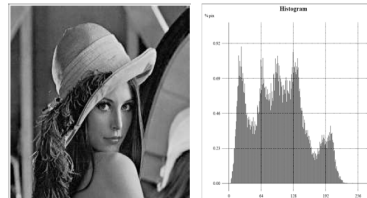
- Gitt en rad i bildet med gråtoner

$$f_1, \dots, f_N, \quad 0 \leq f_i \leq 2^b - 1.$$

- Transformer (reversibelt) til

$$g_1 = f_1, \quad g_2 = f_2 - f_1, \quad \dots, \quad g_N = f_N - f_{N-1}$$

- Vi trenger nå $b+1$ biter hvis vi skal tilordne like lange binære koder til alle mulig verdier.
- I differansehistogrammet vil de fleste verdiene samle seg rundt 0.
- En naturlig bit-koding av differansene er ikke optimal.



Løpelengdetransform

- Ofte inneholder bildet objekter med lignende gråtoner, f.eks. svarte bokstaver på hvit bakgrunn.
- Vi kan benytte oss av kompresjonsteknikker som tar hensyn til at nabopikslar på samme rad ofte er like.
- Løpelengdetransform er reversibel.
- Først et eksempel:
33333355555555544777777 (24 tall)
- Når tallet 3 forekommer 6 ganger etter hverandre, trenger vi bare lagre tallparet (3,6).
- Tilsammen trenger vi her 4 tallpar, (3,6), (5,10), (4,2), (7,6) altså 8 tall til å lagre hele sekvensen 24 tall ovenfor.
- Hvor mange biter vi bruker pr. tall, avhenger av den videre kodingen.

Entropi

- Hvis vi tar gjennomsnittet over alle symbolene s_i i alfabetet, får vi gjennomsnittlig informasjon pr. symbol.

- Entropi H:

$$H = \sum_{i=0}^{2^b-1} p(s_i) I(s_i) = - \sum_{i=0}^{2^b-1} p(s_i) \log_2(p(s_i))$$

- Entropien setter en nedre grense for hvor kompakt sekvensen kan representeres
 - Dette gjelder hvis vi bare koder hvert symbol for seg.

Huffman-koding

- Huffman-koding er en algoritme for variabel-lengde koding som er **optimal** under begrensningen at vi **koder symbol for symbol**.
- Er basert på at vi kjenner hyppigheten for hvert symbol
 - Dette betyr at vi må lage et histogram.
 - Ofte beregner vi sannsynlighetene
 - Men det holder at vi kjenner hyppighetene.

Eksempel - Huffman-koding

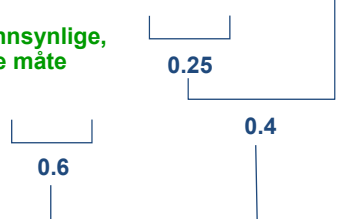
Gitt 6 begivenheter A, B, C, D, E, F med sannsynligheter

Begivenhet	A	B	C	D	E	F
Sannsynlighet	0.3	0.3	0.13	0.12	0.1	0.05

Slå sammen de to minst sannsynlige, Slå også sammen sannsynligheten deres

Finn de to som nå er minst sannsynlige, og slå dem sammen på samme måte

Fortsett til det er bare to igjen

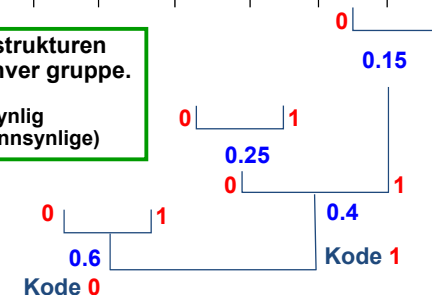


Eksempel - Huffman-koding

Gitt 6 begivenheter A, B, C, D, E, F med sannsynligheter

Begivenhet	A	B	C	D	E	F
Sannsynlighet	0.3	0.3	0.13	0.12	0.1	0.05

Gå baklengs gjennom strukturen og tilordne 0 eller 1 til hver gruppe. (F. eks. kode 0 til den mest sannsynlig og kode 1 til den minst sannsynlige)



Eksempel på Lempel-Ziv-Welch I

- Anta at alfabetet består av a, b og c som tilordnes kodene 1, 2 og 3. La meldingen være ababcbababaaaabab (18 symboler)
 sender: ny frase = **sendt streng pluss neste usendte symbol**
 mottaker: ny frase = **nest siste streng pluss første symbol i sist tilsendte streng**

Ser	Sender	Senders liste	Mottar	Tolker	Mottakers liste
		a=1,b=2,c=3			a=1, b=2, c=3
a	1	ab=4	1	a	
b	2	ba=5	2	b	ab=4
ab	4	abc=6	4	ab	ba=5
c	3	cb=7	3	c	abc=6
ba	5	bab=8	5	ba	cb=7
bab	8	baba=9	8		

- Vi mottar en kode som ikke finnes i listen.
- Kode 8 ble laget som "ba+?", og nå sendes kode 8.
- Altså må vi ha "?" = "b" => 8 = ba + b = bab.

29. mai 2012

INF 2310

33 / 48

Eksempel på Lempel-Ziv-Welch II

Ser	Sender	Senders liste	Mottar	Tolker	Mottakers liste
		a=1,b=2,c=3			a=1, b=2, c=3
a	1	ab=4	1	a	
b	2	ba=5	2	b	ab=4
ab	4	abc=6	4	ab	ba=5
c	3	cb=7	3	c	abc=6
ba	5	bab=8	5	ba	cb=7
bab	8	baba=9	8	bab	bab=8
a	1	aa=10	1	a	baba=9
aa	10	aaa=11	10	aa	aa=10
aa	10	aab=12	10	aa	aaa=11
bab	8		8	bab	aab=12

- Kode 10 ble laget idet 1 = a ble sendt, som 10 "a+?". Så sendes "10".
- Da må vi ha 10="a+a"="aa".
- Istedenfor 18 tegn er det sendt 10 koder.
- 5 av 12 koder ble ikke brukt.

29. mai 2012

INF 2310

34 / 48

Aritmetisk koding

- Tapsfri kompresjonsmetode
 - Gir ofte litt bedre kompresjonsrate enn Huffman-koding.
- Er en variabel-lengde entropikoding.
- Metoden produserer ikke kodeord for enkeltsymboler.
- Metoden koder en sekvens av symboler til et tall n ($0.0 \leq n < 1.0$).
- Dermed kan man få en kortere kode enn med Huffman-koding, fordi man ikke lenger er begrenset av at hvert symbol skal tilordnes et kodeord med et heltalls antall biter.
- Resulterer i et bitforbruk per symbol som er nær entropien.
- Er generelt bedre (målt i bitforbruk per symbol)
 - når sannsynlighetsmodellen samsvarer med de virkelige forekomstene av symboler
 - jo lenger symbolsekvensen er

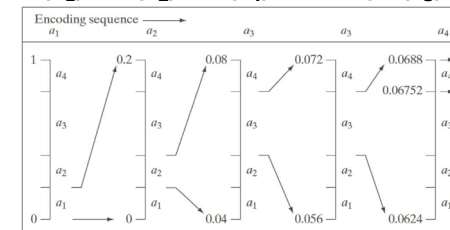
29. mai 2012

INF 2310

35 / 48

AK: Dele opp i stadig mindre intervaller

- Anta at vi har en 5-tegns symbolsekvens $a_1 a_2 a_3 a_3 a_4$
- Anta at symbolsannsynlighetene er lik forekomsthyppighetene; $P(a_1) = P(a_2) = P(a_4) = 0,2$ og $P(a_3) = 0,4$



- a_1 ligger i intervallet $[0, 0.2)$
- $a_1 a_2$ ligger i intervallet $[0.04, 0.08)$
- $a_1 a_2 a_3$ ligger i intervallet $[0.056, 0.072)$
- $a_1 a_2 a_3 a_3$ ligger i intervallet $[0.0624, 0.0688)$
- $a_1 a_2 a_3 a_3 a_4$ ligger i intervallet $[0.06752, 0.0688)$

29. mai 2012

INF 2310

36 / 48

AK: Finne en minst mulig binærrepresentasjon av intervallet

- Finn kortest mulig $N=0.c_1c_2c_3\dots$ innenfor $[0.6, 0.7)$.
- Når c_i er 0 eller 1 og $n \geq k$ så gjelder følgende:

$$c_k * 2^{-k} + \dots + c_n * 2^{-n} < 2^{-(k-1)}$$

- Ergo:

$$N = 0.1\dots \Rightarrow 0.5 \leq N < 1$$

$$N = 0.10\dots \Rightarrow 0.5 \leq N < 0.75$$

$$N = 0.100\dots \Rightarrow 0.5 \leq N < 0.625$$

$$N = 0.101\dots \Rightarrow 0.625 \leq N < 0.75$$

- Vi kan kode intervallet vårt med det binære kommatallet $.101_2$ (ekvivalent med 0.625_{10}), altså med bare 3 biter.
 - I noen situasjoner vil vi kreve at øvre og nedre grense er innenfor intervallet; i dette eksempelet vil $.1010_2$ brukes i et slikt tilfelle:
 - $N = 0.1010\dots \Rightarrow 0.625 \leq N < 0.6875$

Ikke-tapsfri JPEG-kompresjon I

1. Hver bildekanal deles opp i blokker på 8x8 piksler, og hver blokk i hver kanal kodes separat.
2. Dersom intensitetene er gitt uten fortegn; trekk fra 2^{b-1} der 2^b er antall gråtoner
 - Gjør at forventet gjennomsnittlig gråtone er 0
 - Eksempel: For intensitetsintervallet $[0, 255]$; trekk 128 fra alle pikselverdiene.
3. Hver blokk transformeres med 2D DCT (diskret cosinus-transform)

124	125	122	120	122	119	117	118
121	121	120	119	119	120	120	118
126	124	123	122	121	121	120	120
124	124	125	125	126	125	124	124
127	127	128	129	130	128	127	125
143	142	143	142	140	139	139	139
150	148	152	152	152	150	151	151
156	159	158	155	158	158	157	156

DCT

39.88	6.56	-2.24	1.22	-0.37	-1.08	0.79	1.13
-102.43	4.56	2.26	1.12	0.35	-0.63	-1.05	-0.48
37.77	1.31	1.77	0.25	-1.50	-2.21	-0.10	0.23
-5.67	2.24	-1.32	-0.81	1.41	0.22	-0.13	0.17
3.37	-0.74	-1.75	0.77	-0.62	-2.65	-1.30	0.76
5.98	-0.13	-0.45	-0.77	1.99	-0.26	1.46	0.00
3.97	5.52	2.39	-0.55	-0.05	-0.84	-0.52	-0.13
-3.43	0.51	-1.07	0.87	0.96	0.09	0.33	0.01

- Mye av informasjonen i de 64 pikslene samles i en liten del av de 64 DCT-koeffisientene; nemlig de i øverste, venstre hjørne

Ikke-tapsfri JPEG-kompresjon II

JPEG-kompresjonen fortsetter med at:

4. 2D DCT-koeffisientene

- a) skaleres med en vektmatrise og
- b) kvantiseres til heltall.

39.88	6.56	-2.24	1.22	-0.37	-1.08	0.79	1.13
-102.43	4.56	2.26	1.12	0.35	-0.63	-1.05	-0.48
37.77	1.31	1.77	0.25	-1.50	-2.21	-0.10	0.23
-5.67	2.24	-1.32	-0.81	1.41	0.22	-0.13	0.17
-3.37	-0.74	-1.75	0.77	-0.62	-2.65	-1.30	0.76
5.98	-0.13	-0.45	-0.77	1.99	-0.26	1.46	0.00
3.97	5.52	2.39	-0.55	-0.05	-0.84	-0.52	-0.13
-3.43	0.51	-1.07	0.87	0.96	0.09	0.33	0.01

divideres med

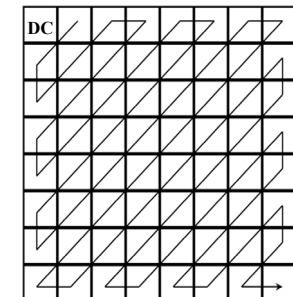
16	11	10	16	24	40	51	61
12	12	14	19	26	58	60	55
14	13	16	24	40	57	69	56
14	17	22	29	51	87	80	62
18	22	37	56	68	109	103	77
24	35	55	64	81	104	113	92
49	64	78	87	103	121	120	101
72	92	95	98	112	100	103	99

resultatet avrundes til

2	1	0	0	0	0	0	0
-9	0	0	0	0	0	0	0
3	0	0	0	0	0	0	0
0	0	0	0	0	0	0	0
0	0	0	0	0	0	0	0
0	0	0	0	0	0	0	0
0	0	0	0	0	0	0	0
0	0	0	0	0	0	0	0

Ikke-tapsfri JPEG-kompresjon III

DC- og AC-koeffisientene behandles nå separat;



- Sikk-sakk-skanning ordner AC-koeffisientene i en 1D-følge.
 - Absoluttverdien av koeffisientene vil stort sett avta utover i følgen.
 - Mange koeffisienter er null.
- Løpelengde-transform av koeffisientene
- Huffman-koding eller aritmetisk koding av løpelengdene.
 - Både predefinerte og egendefinerte Huffman-kodebøker tillates.

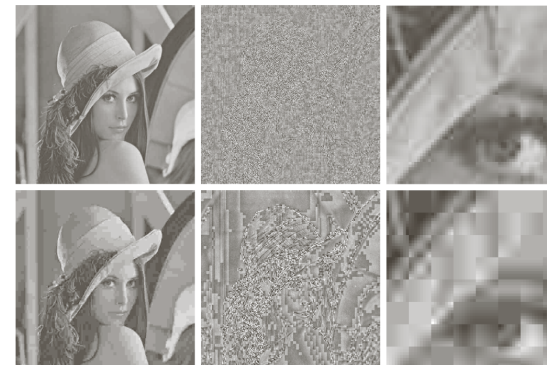
Ikke-tapsfri JPEG-kompresjon IV

DC- og AC-koeffisientene behandles nå separat;

- For hver kanal samles DC-koeffisientene fra alle blokkene.
- Disse er korrelerte og blir derfor differansetransformert.
- Differansene Huffman-kodes eller aritmetisk kodes.

Ikke-tapsfri JPEG: Blokk-artefakter

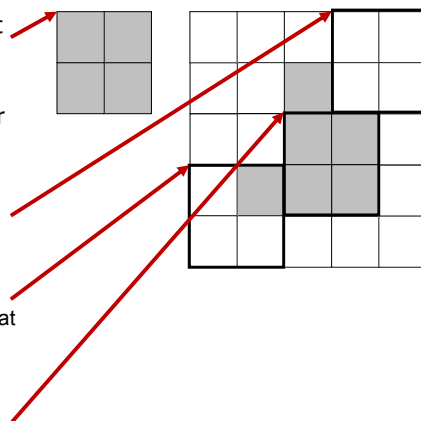
- Blokk-artefaktene øker med kompresjonsraten.



- Øverst: kompresjonsrate = 25
- Nederst: kompresjonsrate = 52

Morfologi: Tre sentrale begrep

- Et **strukturelement** for et binært bilde er en liten matrise av piksler
- Når vi fører strukturelementet over det binære bildet vil vi finne:
 - Posisjoner der strukturelementet ikke overlapper objektet.
 - Posisjoner der strukturelementet delvis overlapper objektet, vi sier at elementet **treffer** objektet.
 - Posisjoner der strukturelementet ligger inni objektet, vi sier at elementet **passer** i objektet.



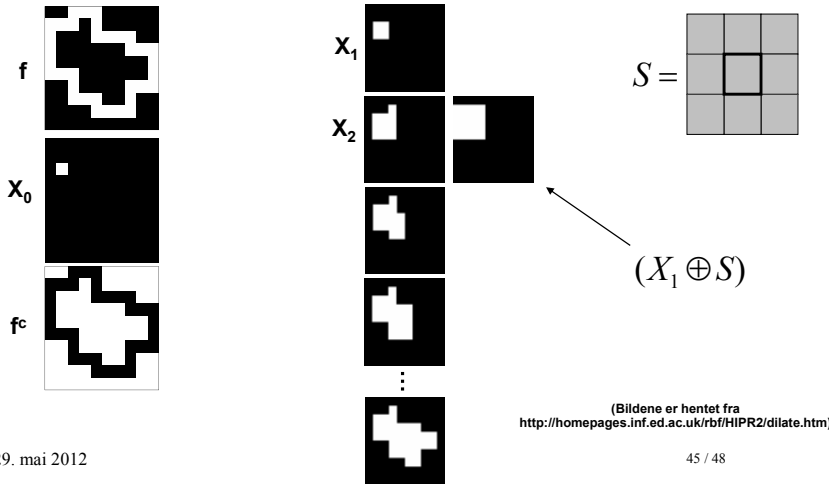
Kantdeteksjon ved erosjon

- Erodering fjerner piksler langs omrisset av en region.
- Vi kan finne kanten av regionene i bildet ved å subtrahere et erodert bilde fra originalbildet: $g = f - (f \ominus S)$
- Strukturelementet avgjør 4- eller 8-naboskap:

Et bilde	erodert med	gir	=>	differanse	
<pre> 00 111110 11110 0111111111110 0111111111110 1111 0 1111111 0111111111111 0111111111110 0111111111110 00000 111 000 </pre>	<pre> 1 1 0 1 1 1 0 1 0 </pre>	<pre> 000000000000 001111011000 001101111000 011000111100 001101111100 001111111000 000001110000 000000000000 </pre>	=>	<pre> 00 111110 11110 010000100100 010010000010 100101000001 010010000001 010000000100 011110001100 000001110000 </pre>	<p>Sammenhengende omriss dersom man bruker 8-naboskap</p>
<pre> 00 111110 11110 0111111111110 0111111111110 1111 0 1111111 0111111111111 0111111111110 0111111111110 00000 111 000 </pre>	<pre> 1 1 1 1 1 1 1 1 1 </pre>	<pre> 000000000000 000110001000 001000111000 001000111000 001000111000 001111111000 000001000000 000000000000 </pre>	=>	<pre> 00 111110 11110 011001110100 010111000100 110101000011 010111000110 010000000100 011111011100 000001110000 </pre>	<p>Sammenhengende omriss ved bruk av 4-naboskap</p>

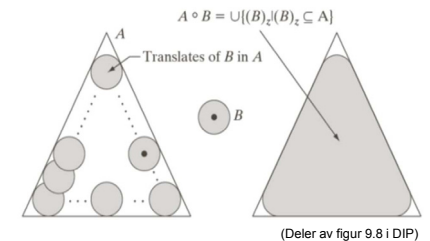
Region-fylling med dilasjon

- La X_0 inneholde et punkt i regionen som skal fylles.
- Deretter iterer over følgende: $X_k = (X_{k-1} \oplus S) \cap f^c$



Geometrisk tolkning av åpning

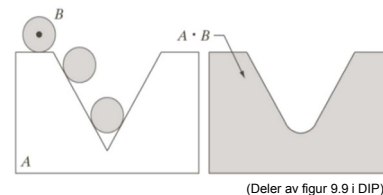
- Tenk at strukturelementet definerer størrelsen og formen til spissen av en tusjpen.
- Det er bare tillatt å fargelegge innenfor objekter.
 - Et par detaljer: Man må holde tusjen vinkelrett på tegneflaten og med samme rotasjon som strukturelementet.
- Åpningen er resultatet av å fargelegge så mye man har lov til.
- For runde strukturelementer: Konkave hjørner blir avrundet, konkave hjørner beholdes rette.
 - Akkurat som ved dilasjon (skyldes at en åpning avsluttes med en dilasjon).



Åpning er idempotent:
 $(f \circ S) \circ S = f \circ S$
 dvs. at gjentatte anvendelser med samme strukturelement gir ingen endring.

Geometrisk tolkning av lukking

- Vi kan benytte samme metafor som for åpning:
 - Strukturelementet definerer størrelsen og formen til spissen av en tusjpen.
 - Man holder tusjen vinkelrett tegneflaten og fargelegger så mye man har lov til.
- Denne gangen er det bare tillatt å fargelegge utenfor objekter.
 - En detalj: Denne gangen skal tusjen holdes speilvendt (180° rotert) av strukturelementet.
- Lukkingen er det som ikke fargelegges.
 - Denne gangen fargelegger vi altså bakgrunnen, sist fargela vi forgrunnen.
- For runde strukturelementer: Konkave hjørner blir avrundet, konkave hjørner beholdes rette.
 - Akkurat som ved erosjon (skyldes at en lukking avsluttes med en erosjon).



Også lukking er idempotent:

$$(f \bullet S) \bullet S = f \bullet S$$

Filtrering ved åpning og lukking

